

微分方程

Fourier变换及应用

内容:

- Fourier变换的定义与起源
- Fourier变换的意义
- Fourier变换到底是啥?
 - 欧拉公式的三维表示
 - 几个三角函数的组合
 - 时域与频域
 - 在信号处理方面的应用
 - 在图像处理方面的应用
- 相似性质
- 卷积性质
- Fourier变换的应用

1. Fourier变换的定义,起源与基本性质:

对 $\forall f(\cdot) \in L^1(\mathbb{R}^n)$, 定义

$$F[f(x)](\xi) = \hat{f}(\xi) = \int_{\mathbb{R}^n} f(x) e^{-ix \cdot \xi} dx, \quad \xi \in \mathbb{R}^n (n=1 \text{ 时常用 } \lambda) \quad \text{“Fourier变换”}$$

$$F^{-1}[f(\xi)](x) = \check{f}(x) = \frac{1}{(2\pi)^n} \int_{\mathbb{R}^n} f(\xi) e^{ix \cdot \xi} d\xi, \quad x \in \mathbb{R}^n \quad \text{“Fourier逆变换”}$$

应用: **Fourier变换**在图像处理、信号处理、量子力学、声学、光学、结构动力学、数论、概率论、统计学、密码学、海洋学、通讯、金融等领域都有着广泛应用, 也是**小波变换**的基础

Fourier变换的真正目的是简化运算!

起源: 1807年Fourier在向法国科学院提交一篇关于热传导问题的论文中声称**任一函数都能够展成三角函数的无穷级数**。这篇论文经 Lagrange, Laplace, Legendre等著名数学家审查, 但由于Lagrange的强烈反对, 该论文未被通过, 直到1822年才发表在《热的分析理论》一书中。

基本性质:

1°. 线性: $\widehat{c_1 f + c_2 g} = c_1 \hat{f} + c_2 \hat{g}, c_1, c_2 \in \mathbb{C}$

2°. 共轭: $\widehat{\hat{f}}(\xi) = \overline{\hat{f}(-\xi)}$

3°. 微分: $\widehat{D^\alpha f}(\xi) = i^{|\alpha|} \xi^\alpha \hat{f}(\xi), \alpha = (\alpha_1, \dots, \alpha_n)$ 多重指标

4°. 幂乘: $\widehat{x^\alpha f}(\xi) = i^{|\alpha|} D_\xi^\alpha \hat{f}(\xi)$

5°. 平移: $\widehat{f(x - x_0)}(\xi) = e^{-ix_0 \cdot \xi} \hat{f}(\xi)$

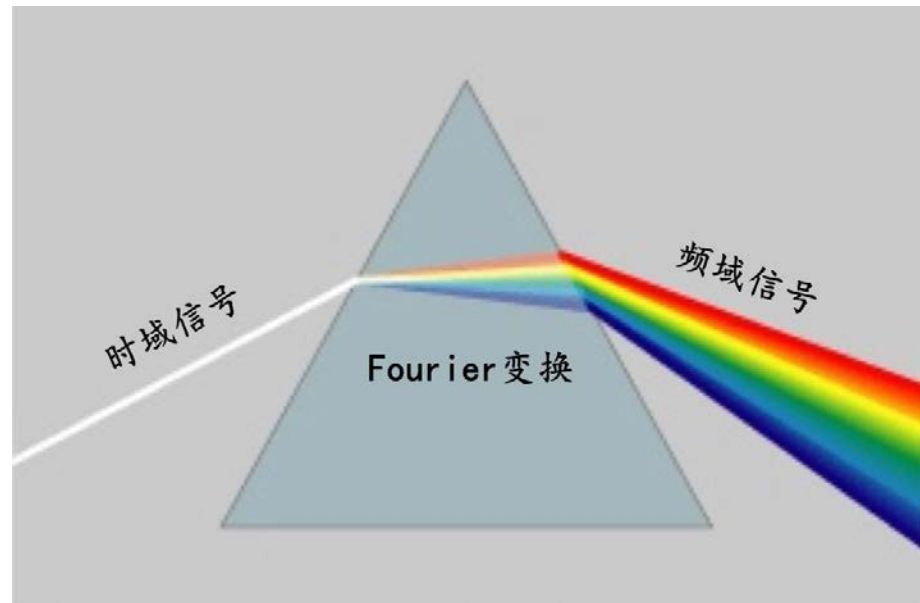
6°. 相似: $\widehat{f(ax)}(\xi) = |a|^{-n} \hat{f}(a^{-1}\xi)$

7°. 卷积: $\widehat{f * g}(\xi) = \hat{f}(\xi) \hat{g}(\xi)$

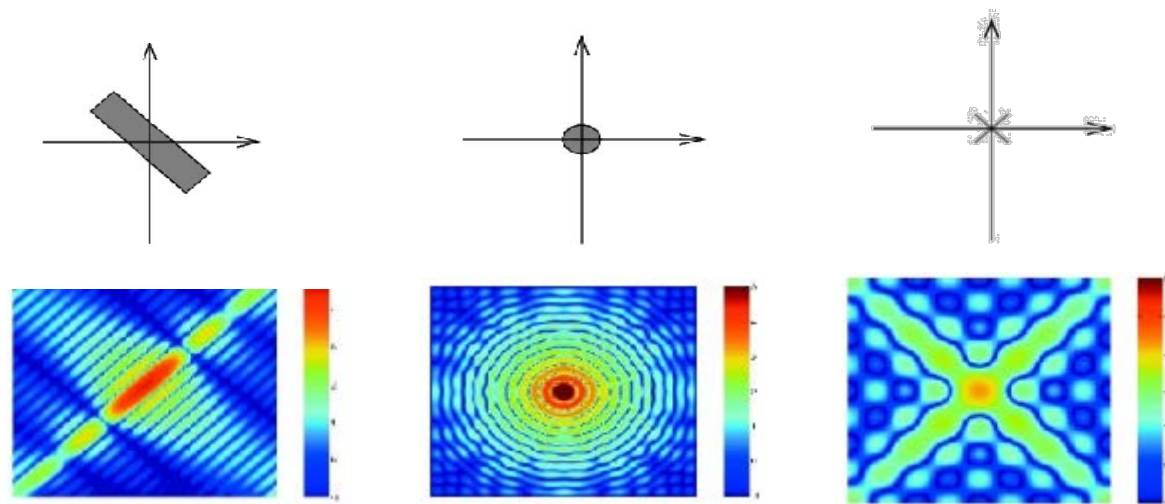
8°. 反演: $f = \check{\hat{f}}$ ($L^2(\mathbb{R}^n)$ 上的线性同构)

2. Fourier变换的意义:

Fourier变换好比一个玻璃棱镜，可以将光分成不同颜色的物理仪器，每个成分的颜色由波长决定。Fourier变换也可看做是“数学中的棱镜”，将函数基于频率分成不同的成分

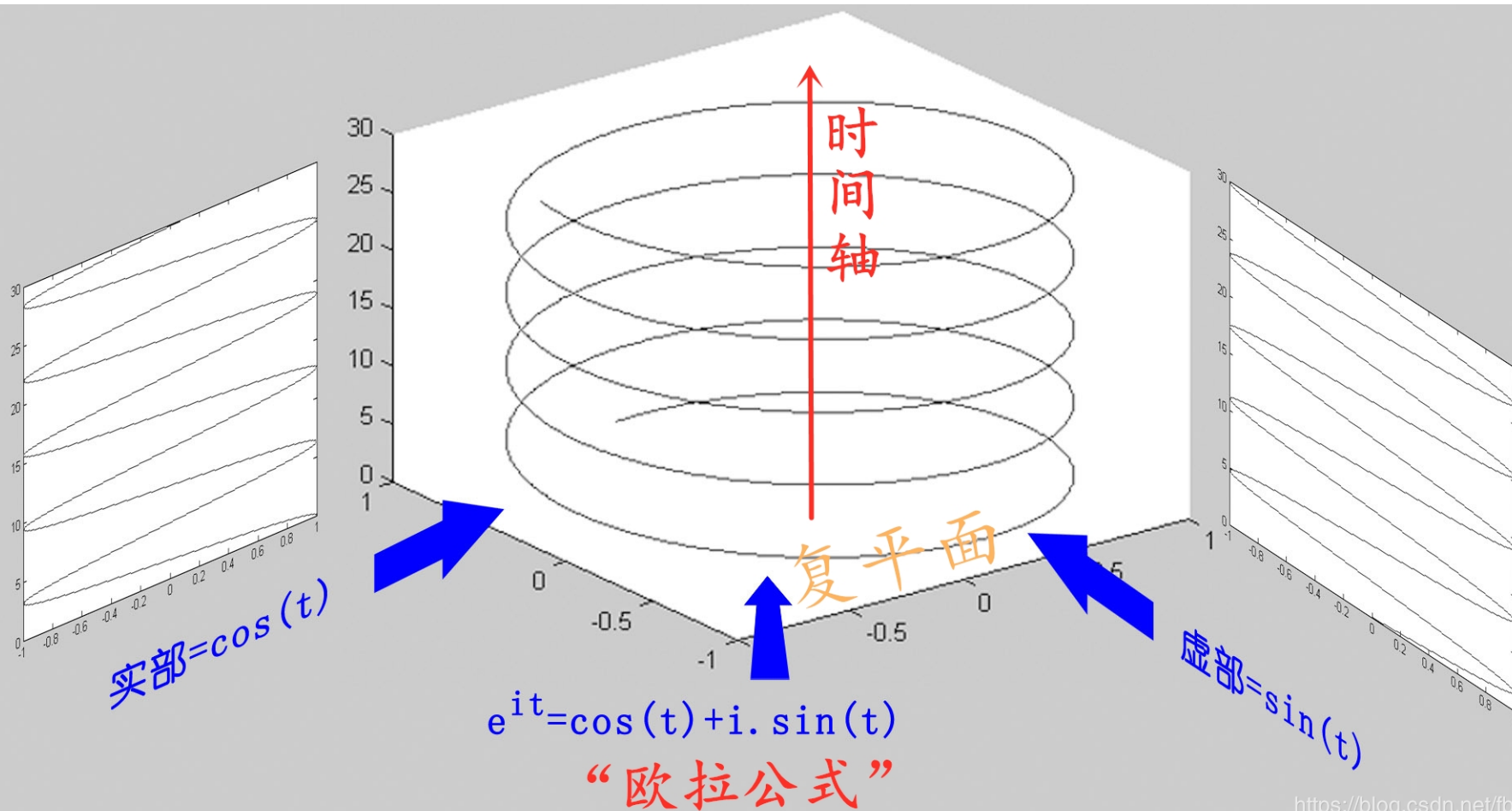


一些图像的二维Fourier变换:

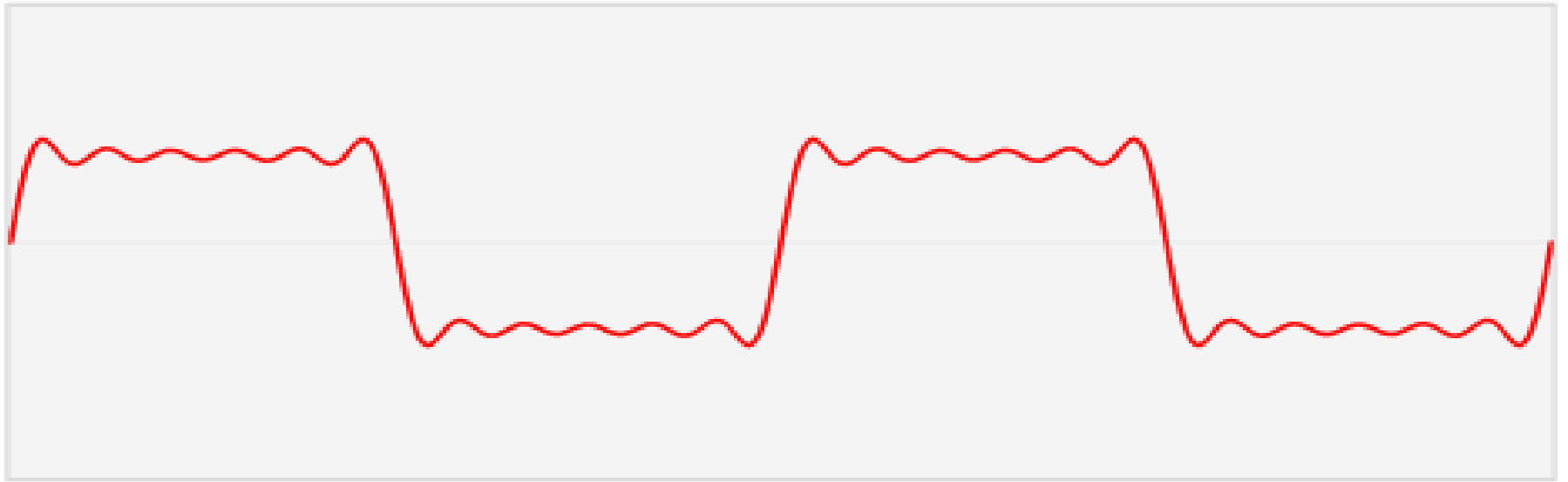


3. Fourier变换到底是啥?

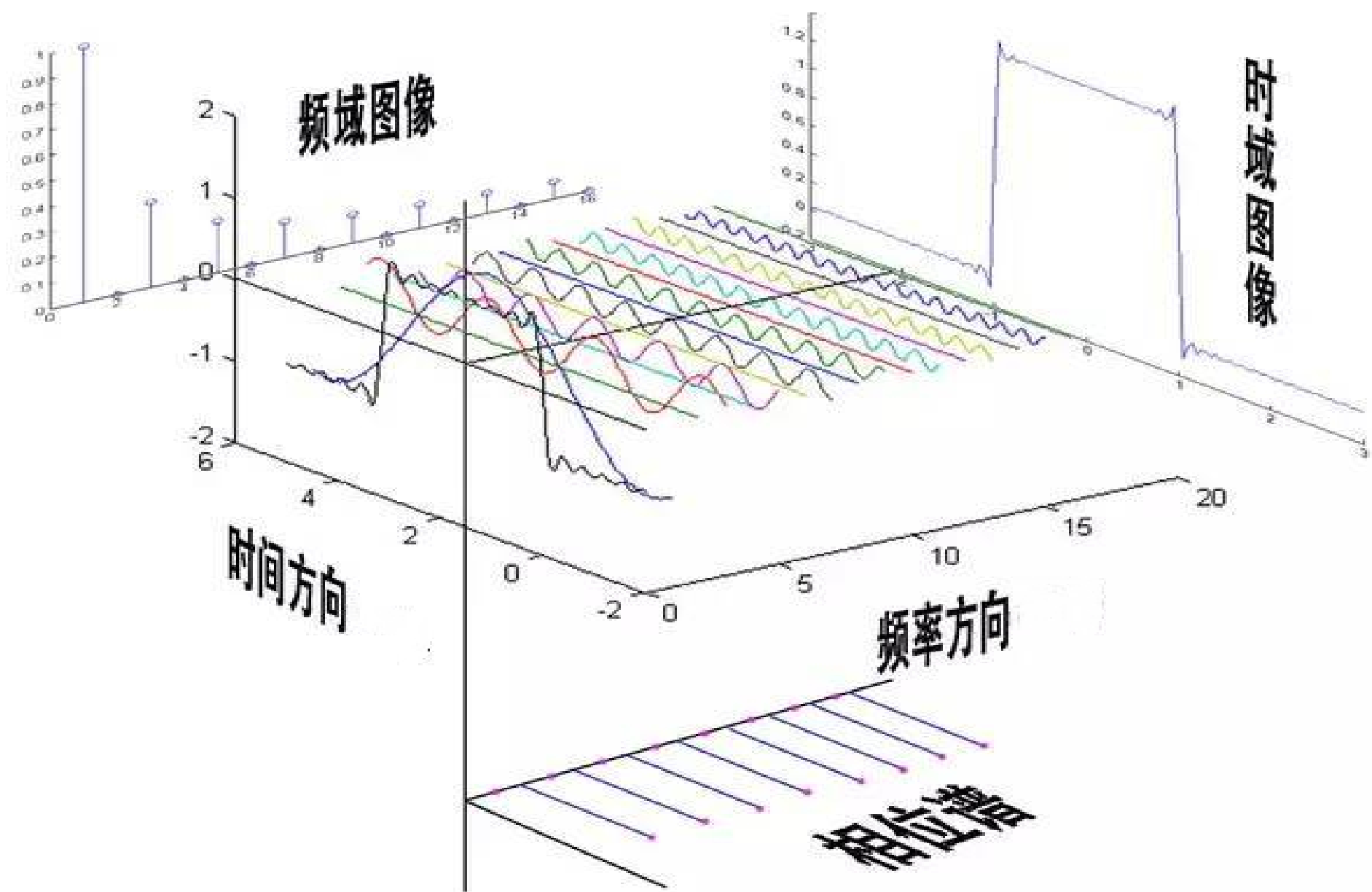
3.1 欧拉公式的三维表示:



3.2 几个三角函数的组合：

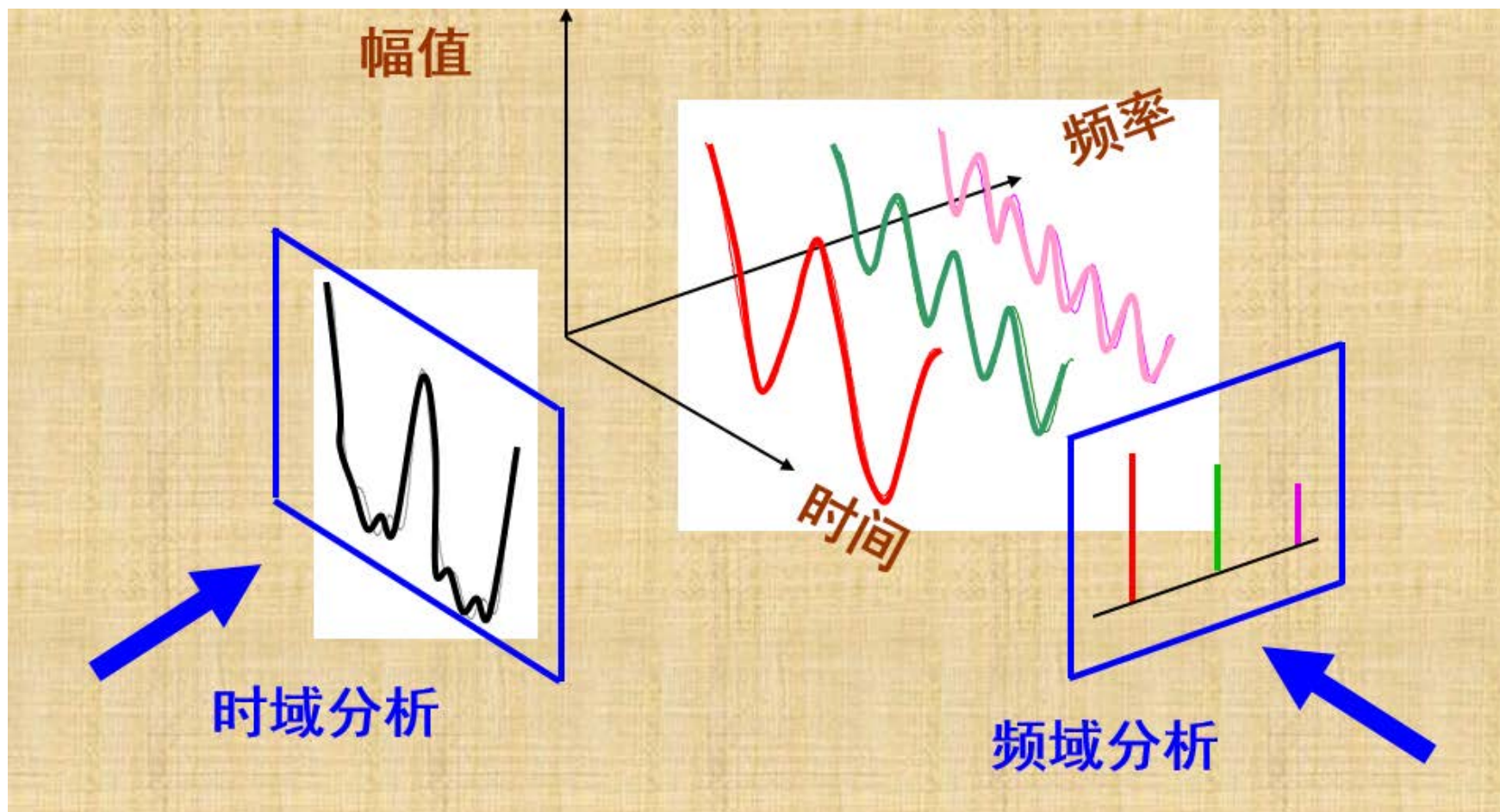


3.3 时域与频域:



3.4 在信号处理方面的应用：

信号频谱 \hat{f} 代表了信号在不同频率分量成分的大小，能够提供比时域信号波形更直观，丰富的信息



例：矩形脉冲信号

$$f(x) = \begin{cases} E, & |x| \leq \frac{\tau}{2} \\ 0, & |x| > \frac{\tau}{2} \end{cases}$$

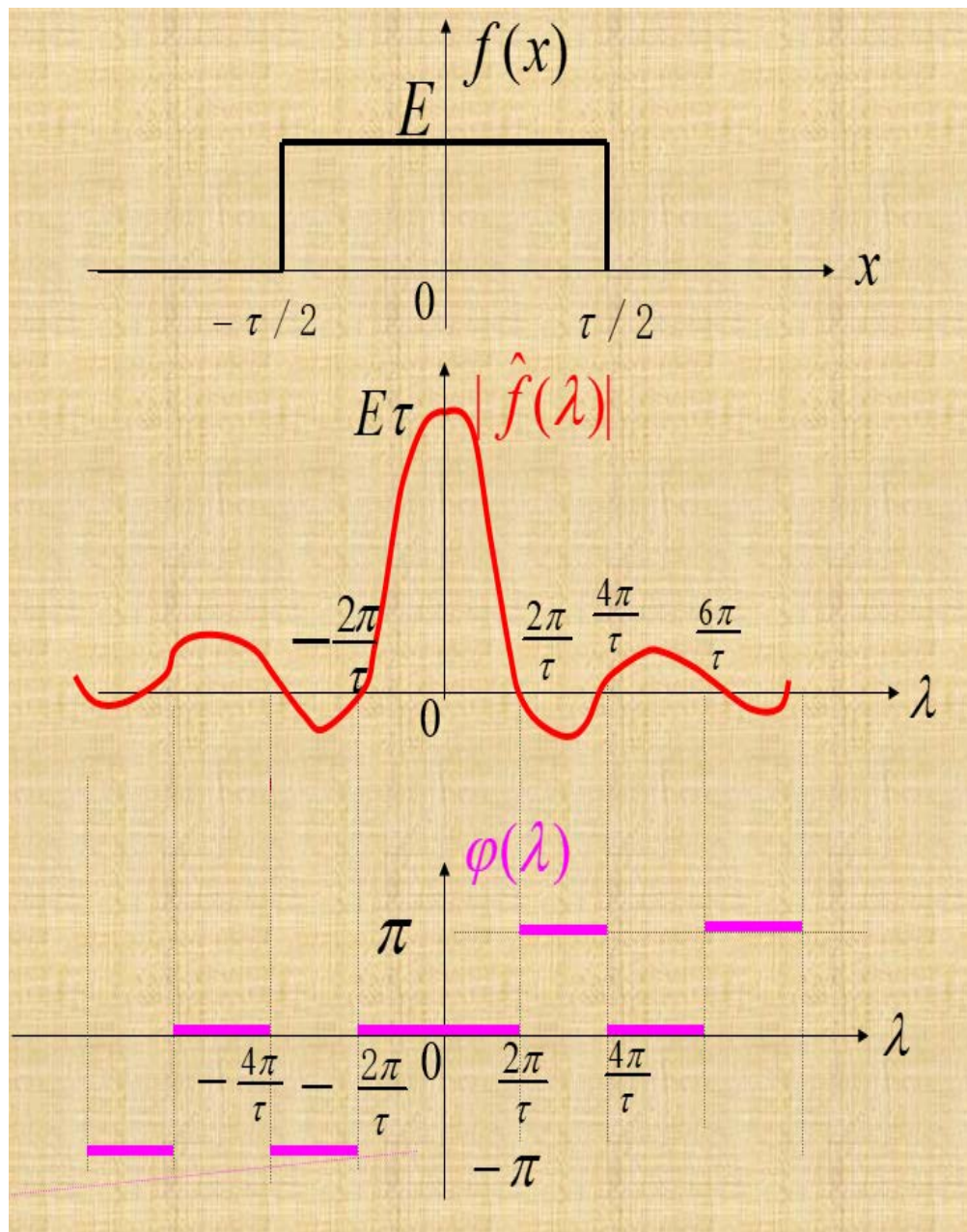
$$\hat{f}(\lambda) = \int_{-\infty}^{\infty} f(x) e^{-ix\lambda} dx = E\tau \operatorname{sinc} \frac{\lambda\tau}{2}$$

幅度频谱:

$$|\hat{f}(\lambda)| = E\tau \left| \operatorname{sinc} \frac{\lambda\tau}{2} \right|$$

相位频谱:

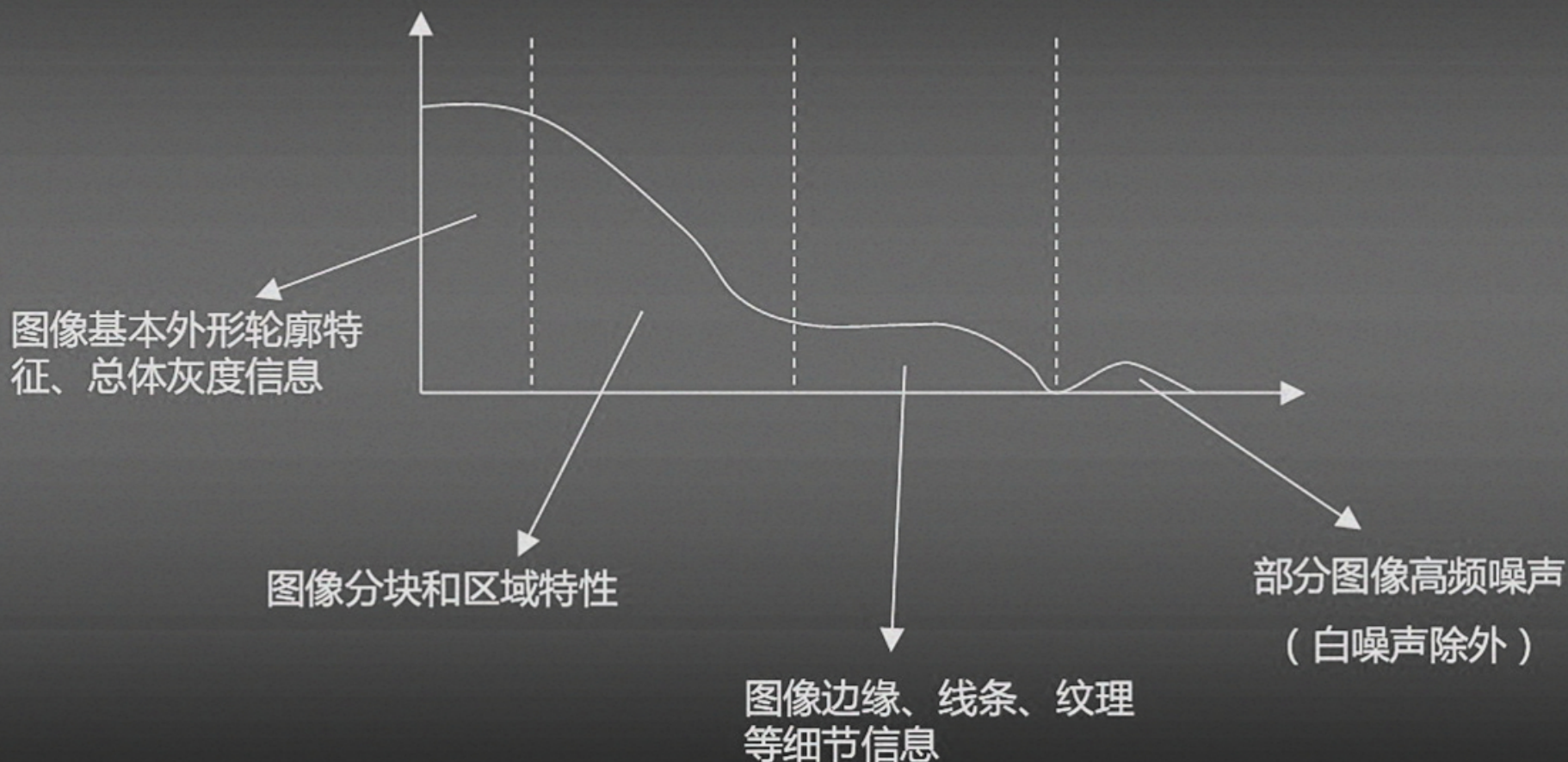
$$\varphi(\lambda) = \begin{cases} 0, & \frac{4k\pi}{\tau} < |\lambda| < \frac{2(2k+1)\pi}{\tau} \\ \pi, & \frac{2(2k+1)\pi}{\tau} < |\lambda| < \frac{4(k+1)\pi}{\tau} \end{cases}$$



3.5 在图像处理方面的应用：

为什么要做图像变换？**FT** → 大部分能量都分布于低频谱段，这对以后图象的压缩、传输都比较有利，从而使得运算次数减少，节省时间。

图像信号的频域模型：



图像处理技术示意图：



- 图像的Fourier变换
- 图像的余弦变换
- 图像的Walsh变换
- 图像的K-L变换
- 图像的小波变换

处理起来

- 更有效
- 更方便
- 更快捷

.....

例：不同图像的Fourier变换

原图像



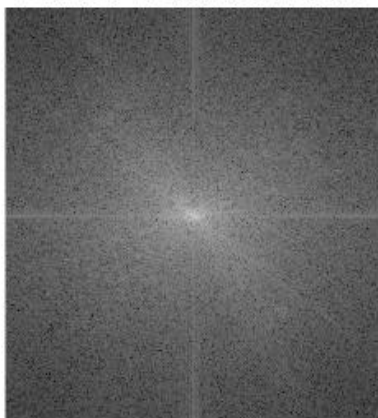
低通滤波所得图像



高通滤波所得图像



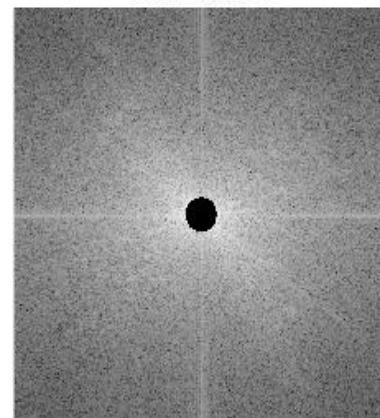
图像傅里叶变换取对数所得频谱



低通滤波频谱



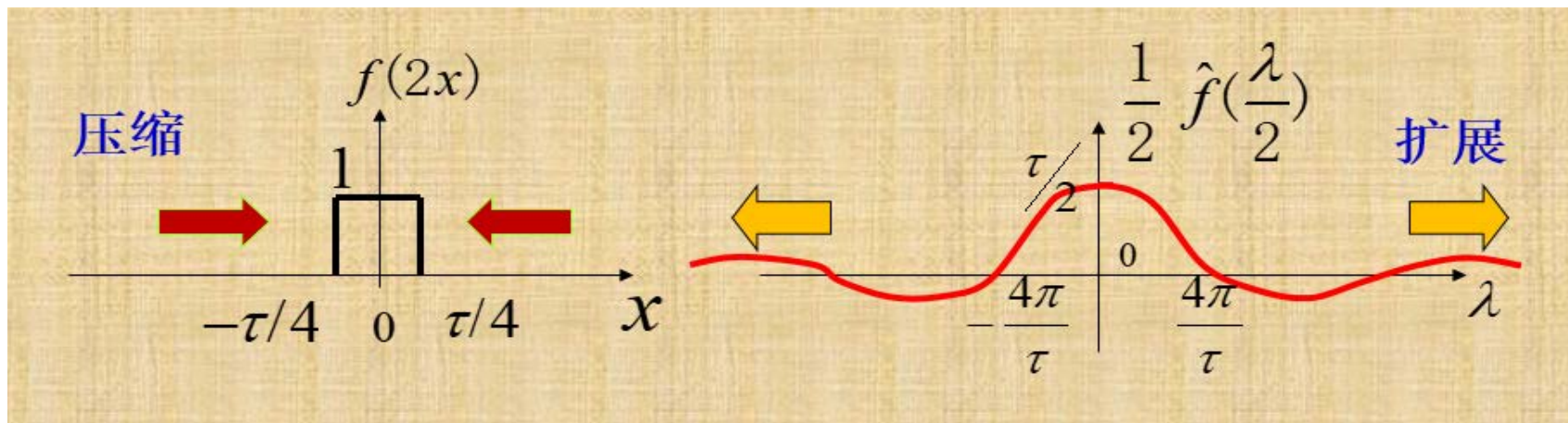
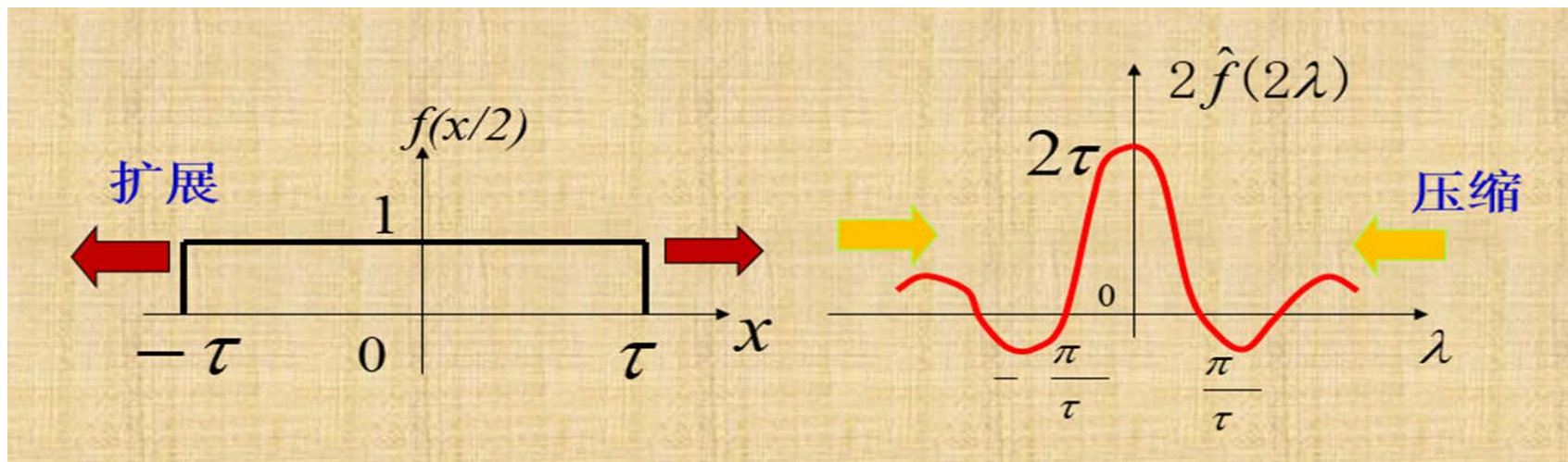
高通滤波频谱



4. Fourier变换的相似性质: $F[f(ax)] = |a|^{-1} \hat{f}(a^{-1}\lambda)$

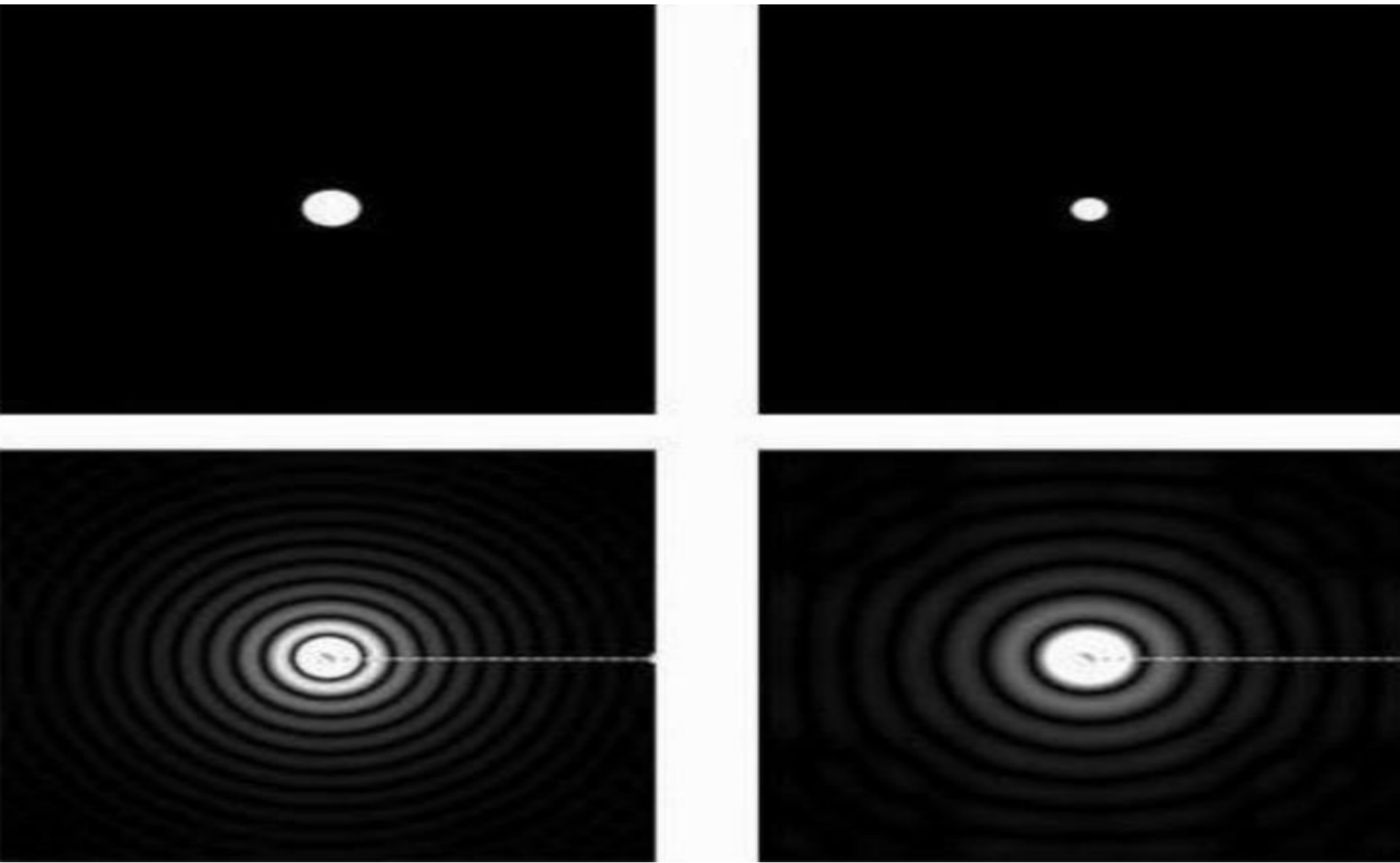
时域中的扩展(压缩)等于频域中的压缩(扩展)

例1: 一维Fourier变换



例2：二维Fourier变换

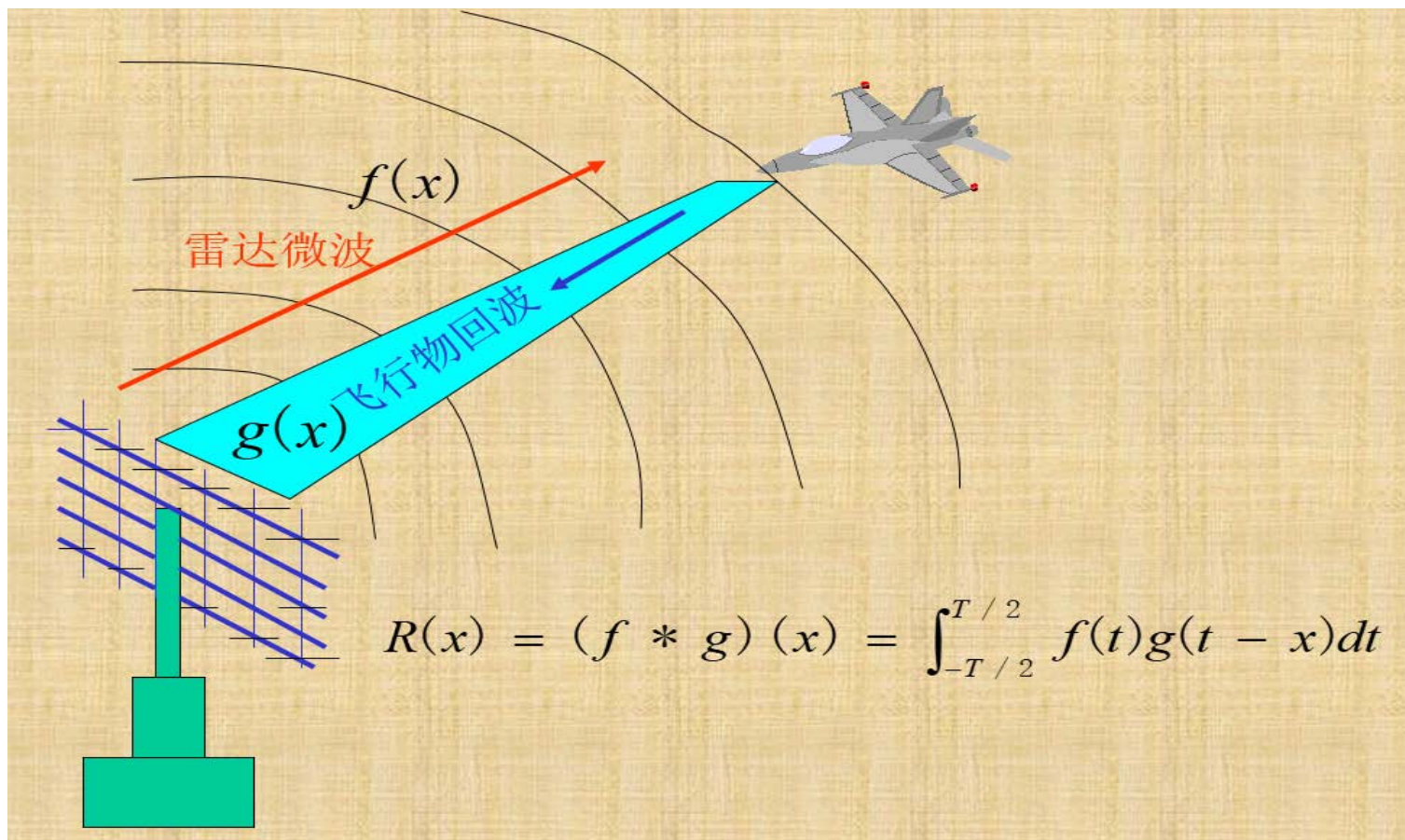
小(大)圆经过Fourier变换后其圆环变大(小)



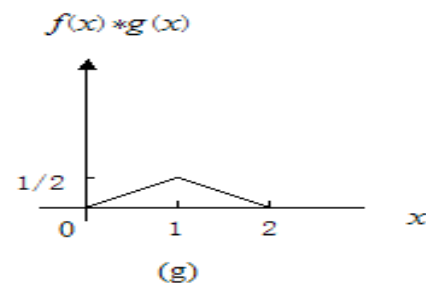
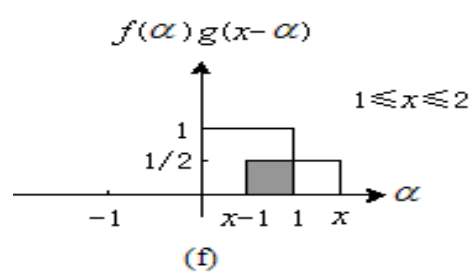
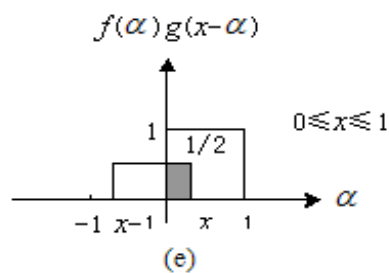
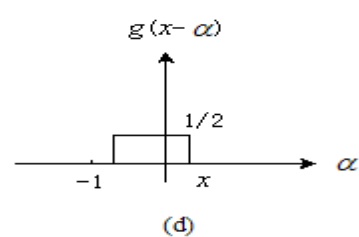
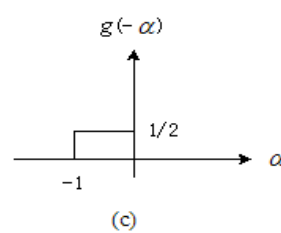
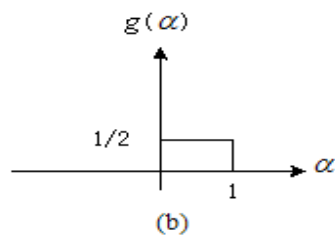
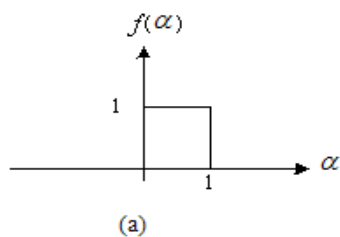
5. Fourier变换的卷积性质:

$$F[f * g](\lambda) = \hat{f}(\lambda)\hat{g}(\lambda), \quad (f * g)(x) = \int_{\mathbb{R}^n} f(y)g(x-y)dy$$

一维卷积示意图:



例: $f(x) = \begin{cases} 1, 0 \leq x \leq 1 \\ 0, \text{其它} \end{cases}, g(x) = \begin{cases} 1/2, 0 \leq x \leq 1 \\ 0, \text{其它} \end{cases}$



$$f(x) * g(x) = \begin{cases} x/2 & 0 \leq x \leq 1 \\ 1 - x/2 & 1 \leq x \leq 2 \\ 0 & \text{其它} \end{cases}$$

6. Fourier变换的应用:

例. 求解非齐次三维波动方程初值问题:

$$\begin{cases} u_{tt} = c^2 \Delta u + f(x, t), & x \in \mathbb{R}^3, t > 0 \\ u|_{t=0} = \varphi(x), u_t|_{t=0} = \psi(x) \end{cases}$$

解. 定义波动方程的基本解 $U(x, t)$:
$$\begin{cases} U_{tt} = c^2 \Delta U, & x \in \mathbb{R}^3, t > 0 \\ U|_{t=0} = 0, U_t|_{t=0} = \delta(x) \end{cases}$$

则可以直接验证 (卷积 $f(x) * g(x) := \int_{\mathbb{R}^3} f(x-y)g(y)dy$)

$$u(x, t) = U(x, t) * \psi(x) + \partial_t [U(x, t) * \varphi(x)] + \int_0^t U(x, t-\tau) * f(x, \tau) d\tau$$

对 $\begin{cases} U_{tt} = c^2 \Delta U \\ U|_{t=0} = 0, U_t|_{t=0} = \delta(x) \end{cases}$ 作关于空间变量的Fourier变换, 有

$$\begin{cases} \frac{d^2 \hat{U}}{dt^2} = -c^2 \rho^2 \hat{U}, \rho = |\xi| = \sqrt{\xi_1^2 + \xi_2^2 + \xi_3^2} \\ \hat{U}|_{t=0} = 0, \hat{U}_t|_{t=0} = \hat{\delta} = 1 \end{cases}$$

$$\Rightarrow \hat{U}(\xi, t) = \frac{\sin(c\rho t)}{c\rho},$$

$$\therefore U(x, t)$$

$$= F^{-1}[\hat{U}] = \frac{1}{(2\pi)^3} \int_{\mathbb{R}^3} \frac{\sin(c\rho t)}{c\rho} e^{ix \cdot \xi} d\xi$$

$$= \frac{1}{(2\pi)^3} \int_0^{+\infty} d\rho \int_0^\pi d\theta \int_0^{2\pi} \frac{\sin(c\rho t)}{c\rho} e^{ir\rho \cos\theta} \rho^2 \sin\theta d\varphi \quad (\text{球坐标变换, } r = |x|)$$

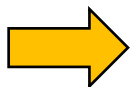
$$= \frac{1}{4\pi^2 c} \int_0^{+\infty} \sin(c\rho t) \frac{-e^{ir\rho \cos\theta}}{ir} \Big|_0^\pi d\rho = \frac{1}{2\pi^2 cr} \int_0^{+\infty} \sin(c\rho t) \sin(r\rho) d\rho \quad (\text{欧拉公式})$$

$$= \frac{1}{4\pi^2 cr} \int_0^{+\infty} [\cos \rho(r-ct) - \cos \rho(r+ct)] d\rho = \frac{1}{8\pi^2 cr} \int_{-\infty}^{+\infty} [e^{i\rho(r-ct)} - e^{i\rho(r+ct)}] d\rho$$

$$= \frac{1}{4\pi cr} [\delta(r-ct) - \delta(r+ct)] = \frac{\delta(r-ct)}{4\pi cr} \quad (\because F^{-1}[1] = \delta, r \geq 0, c > 0, t > 0)$$

令 $S_r(x)$ 为半径 r 球心在 x 的球面，现取 $r = |x - y|$ ，则对 $\forall g(x)$ ，利用卷积和 δ 函数的定义，有

$$\begin{aligned}
 U(x,t) * g(x) &= \int_{\mathbb{R}^3} \frac{\delta(|x-y|-ct)}{4\pi c |x-y|} g(y) dy = \frac{1}{4\pi c} \int_0^{+\infty} \frac{\delta(r-ct)}{r} \left[\int_{S_r(x)} g(y) dS(y) \right] dr \\
 &= \frac{1}{4\pi c} \frac{1}{ct} \int_{S_{ct}(x)} g(y) dS(y) = \frac{1}{4\pi c^2 t} \int_{S_{ct}(x)} g(y) dS(y)
 \end{aligned}$$



$$\begin{aligned}
 u(x,t) &= U(x,t) * \psi(x) + \partial_t [U(x,t) * \varphi(x)] + \int_0^t U(x,t-\tau) * f(x,\tau) d\tau \\
 &= \frac{1}{4\pi c^2 t} \int_{S_{ct}(x)} \psi(y) dS(y) + \partial_t \left[\frac{1}{4\pi c^2 t} \int_{S_{ct}(x)} \varphi(y) dS(y) \right] \\
 &\quad + \int_0^t \frac{1}{4\pi c^2 (t-\tau)} \int_{S_{c(t-\tau)}(x)} f(y,\tau) dS(y) d\tau
 \end{aligned}$$

(Kirchhoff公式)

推迟势